

**بررسی تجربی جریان هوا پایین دست مدل مربعی در زوایای مختلف\***

مقاله کوتاه

احسان اردکانی<sup>(۱)</sup>علیرضا تیمورتاش<sup>(۲)</sup>محمدعلی اردکانی<sup>(۳)</sup>

**چکیده** با بررسی ریزش گردابه‌ها و جریان هوای پایین دست مدل مربعی می‌توان، دبی سنج جریان هوا از نوع گردابه‌ای را طراحی نمود. در این مقاله سرعت جریان هوا، شدت اغتشاش‌های آن و ریزش گردابه‌های ناشی از مدل مربعی به ضلع ۱۵ mm به صورت تجربی با استفاده از جریان‌سنج سیم‌داغ بررسی شده است. نتایج نشان می‌دهد که زاویه جریان هوا تأثیر شدیدی بر توزیع سرعت جریان هوا و شدت اغتشاش‌های آن ندارد ولی تغییرات عدد استروهال نسبت به زاویه جریان بالا است، به طوری که عدد استروهال در زاویه ۱۲° بیشترین مقدار را معادل ۰/۱۷۶ و در زاویه ۴۳° کمترین مقدار را معادل ۰/۱۲۹ دارا است. در صورتی که پراب در ناحیه  $x/a=2/5$  و  $2/2 \leq y/a \leq 6$  قرار گیرد، سرعت برابر سرعت جریان آزاد بوده و گردابه‌ها نیز قابل اندازه‌گیری است.

**واژه‌های کلیدی** ریزش گردابه‌ها، مدل مربعی، جریان‌سنج سیم‌داغ، دبی سنج گردابه‌ای.

**Experimental Investigation on Flow Downstream of a Square Bluff****Body at Different Angles**

E. Ardekani

A. Teymourtash

M.A. Ardekani

**Abstract** Study of vortex shedding and flow downstream of a square bluff body can be used to a vortex flowmeter. In this paper, flow velocity, turbulence intensity and vortex shedding from a 15 mm square bluff body have been investigated experimentally using hot-wire anemometer. Results show that flow angle has little effect on flow velocity distribution and turbulence intensity. However, variations of Strouhal number ( $St$ ) with respect to the flow angle is large, so that Strouhal number at flow angle of  $12^\circ$  has the maximum value of 0.176 and at angle of  $43^\circ$ , it has the minimum value of 0.129. If the probe is placed in the region  $x/a=2.5$  and  $2.2 \leq y/a \leq 6$ , the velocity will be equal to the free stream velocity and the vortices will be measureable.

**Keywords** Vortex shedding, square bluff body, Hot-wire anemometer, Vortex flowmeter.

DOI:10.22067/fum-mech.v31i2.81306

\* تاریخ دریافت مقاله ۹۸/۳/۲۴ و تاریخ پذیرش آن ۹۹/۷/۱۴ می‌باشد.

(۱) دانشجو کارشناسی ارشد، مهندسی مکانیک، دانشگاه فردوسی مشهد.

(۲) استاد، مهندسی مکانیک، دانشگاه فردوسی مشهد.

(۳) استاد، مهندسی مکانیک، سازمان پژوهش‌های علمی و صنعتی ایران، تهران.

Email: ardekani@irost.ir

## مقدمه

پدیده ریزش گردابه‌ها از اجسام لبه پهن (Bluff Body)، از پدیده‌های مهم جریان سیالات است که شناخت این پدیده اهمیت زیادی در سیالات دارد.

ریزش گردابه‌ها سبب ارتعاش بر روی اجسام پایین دست شده و یا آنکه سبب ارتعاش خود جسم می‌شود که این موضوع برای سازه‌هایی که در معرض باد قرار دارند، اهمیت دارد. همچنین این موضوع پایه و اساس دبی سنج‌های گردابه‌ای نیز است [1]. با اندازه‌گیری ریزش گردابه‌های ناشی از اجسام لبه پهن می‌توان سرعت و در نتیجه دبی جریان را اندازه‌گیری کرد.

دبی سنج‌های گردابه‌ای از نوع دبی سنج‌های خطی می‌باشند که مزیت این نوع دبی سنج‌ها دقت بالا، بازه اندازه‌گیری مناسب و قابلیت استفاده در سیالات مختلف و شرایط گوناگون از لحاظ فشار است. مهم‌ترین خصوصیت این نوع دبی سنج‌ها این است که نیازی به کالیبراسیون مداوم ندارند. در این نوع دبی سنج‌ها، فرکانس ریزش گردابه‌های ناشی از جسم لبه پهن را اندازه‌گیری نموده و با استفاده از آن، سرعت و یا دبی جریان هوا را می‌توان اندازه‌گیری نمود. بدین منظور نیاز است که رابطه عدد استروهل ( $St = \frac{fa}{U}$ ) و عدد رینولدز ( $Re = \frac{ua}{\nu}$ ) برای جسم لبه پهن مشخص شود.  $a$  اندازه مشخصه جسم لبه پهن به‌عنوان مثال طول ضلع یک مربع،  $U$  سرعت جریان آزاد و  $\nu$  لزجت سینماتیکی است. شکل جسم لبه پهن و در نتیجه فرکانس آن از اهمیت بالایی برخوردار است و تاکنون شکل‌های گوناگونی نظیر مربع، مستطیل، مثلث و  $T$  شکل برای این امر پیشنهاد و توسط محققین مختلف بررسی شده است. برای انتخاب جسم لبه پهن، این نکته مهم است که مکان جدایش در جسم، حتی المقدور ثابت بوده و با عدد  $Re$  تغییر نکند [2].

برای اندازه‌گیری فرکانس ریزش گردابه‌ها، روش‌های مختلفی وجود دارد، از جمله اندازه‌گیری ارتعاش جسم و یا اندازه‌گیری سرعت لحظه‌ای جریان هوا که مناسب‌ترین روش برای اندازه‌گیری سرعت

لحظه‌ای جریان هوا، استفاده از جریان‌سنج سیم‌داغ است [3].

مدل مربعی و یا مستطیلی، جسم لبه پهنی است که بررسی جریان پایین دست آن و همچنین بررسی ریزش گردابه‌های آن از اهمیت برخوردار بوده که در این راستا تحقیقات مختلفی به‌صورت عددی و تجربی انجام پذیرفته است.

اوکاجیما [4] ریزش گردابه‌های ناشی از مدل مستطیلی را به‌صورت تجربی با استفاده از تونل باد و تونل آب در اعداد رینولدز ۵۰ تا ۲۰۰۰۰ بررسی نمود. وی نشان داد که عدد استروهل ریزش گردابه‌ها بستگی به نسبت عرض به ارتفاع مدل دارد. همچنین وی نشان داد تغییرات عدد استروهل برای مدل مربعی، در اعداد رینولدز کمتر از ۱۰۰ زیاد بوده و در اعداد رینولدز بالاتر از ۵۰۰۰ تقریباً ثابت بوده و عدد استروهل حدود ۰/۱۴ است. همچنین وی ریزش گردابه‌ها را برای مدل مستطیلی با نسبت ارتفاع به پهنای مدل از ۰/۶ تا ۱۰ را به‌صورت عددی برای اعداد رینولدز کمتر از ۸۰۰ بررسی نمود. وی نشان داد هنگامی که نسبت ارتفاع به پهنای مدل ۲/۶ و یا ۶ باشد، تغییرات شدیدی در عدد استروهل ریزش گردابه‌ها رخ می‌دهد.

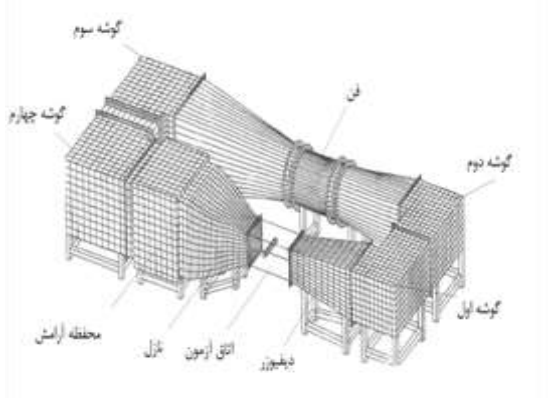
ناکامورا و همکارانش [5] ریزش گردابه‌های ناشی از مدل مستطیلی را در اعداد رینولدز ۲۰۰ تا ۱۰۰۰ به‌صورت تجربی و عددی بررسی نمودند. آنها نشان دادند که مکانیزم ریزش گردابه‌ها بستگی به عدد رینولدز دارد. هنگامی که عدد رینولدز کمتر از ۳۰۰ است، ریزش گردابه‌ها از نوع کارمن بوده و اغتشاش‌های سرعت لحظه‌ای جریان بسیار نزدیک به موج سینوسی است. با افزایش عدد رینولدز مکانیزم از نوع ناپایداری در تنش‌های برشی می‌شود.

متسوموتو [6] تأثیر زاویه جریان هوا بر ریزش گردابه‌ها برای مدل مستطیلی با نسبت ارتفاع به پهنای ۰/۵ را به‌صورت تجربی بررسی نمود. وی نشان داد که عدد استروهل از مقدار ۰/۱۵ در زاویه ۰° تا مقدار ۰/۲۱ در زاویه ۲۵° افزایش یافته و پس از آن از زاویه ۲۵° تا ۸۰° به‌آرامی عدد استروهل کاهش یافته و به ۰/۱۸

می‌رسد. استروهاال و هنگامی که زاویه جریان هوا  $15^\circ$  است بیشترین مقدار عدد استروهاال را خواهیم داشت. در این مقاله، مدل مربعی که از اجسام لبه پهنی است که به زاویه جریان حساس بوده و تغییرات زاویه بر عدد استروهاال تأثیرگذار است، به طوری که زاویه قرارگیری مدل برای کاربردهای مختلف، از اهمیت برخوردار است. به منظور استفاده در کاربردهای مختلف از جمله در طراحی دبی سنج‌های گردابه‌ای، جریان پایین دست مدل مربعی به صورت تجربی بررسی و نتایج آن ارائه شده است.

### روش آزمایش

کلید آزمایش‌ها در آزمایشگاه تونل باد پژوهشکده مکانیک سازمان پژوهش‌های علمی و صنعتی ایران انجام شده است. تونل باد مورد استفاده از نوع مدار بسته مطابق شکل (۱) است که سرعت آن با استفاده از کنترل دور از  $2 \text{ m/s}$  تا  $28 \text{ m/s}$  قابل تنظیم است.



شکل (۱): تونل باد مدار بسته و قسمت‌های مختلف آن

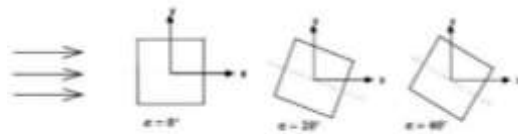
مقطع اتاق آزمون تونل باد فوق  $60 \text{ cm} \times 60 \text{ cm}$  است. به منظور یکنواخت نمودن سرعت جریان هوا و کاهش اغتشاش‌های آن از ۴ سری توری با مش ۲۰ و ۲۴ در اتاق آرامش، به همراه لانه زنبوری استفاده شده است. مقدار شدت اغتشاش‌های تونل باد در مرکز اتاق آزمون کمتر از ۰/۲٪ است. مدل مورد استفاده در این تحقیق به شکل مربع به ضلع  $15 \text{ mm}$  است. شکل (۲)

کلکار و پاتانکار [7] جریان پایین دست مدل مربعی شکل را در اعداد رینولدز پایین حدود ۱۰ تا ۱۰۰ را به صورت عددی بررسی نمودند. آنها با استفاده از خطوط جریان تفاوت ناحیه جدایش در اعداد رینولدز ۱۰ تا ۱۰۰ را نشان دادند. هنگامی که عدد رینولدز ۱۰ است، ناحیه جدایش و گردابه‌های ساکن وجود ندارد، ولی با افزایش عدد رینولدز طول ناحیه جدایش و گردابه‌های ساکن افزایش می‌یابد. سن و همکارانش [8] جریان پایین دست مدل مربعی شکل را در اعداد رینولدز کمتر از ۱۵۰ به صورت عددی بررسی نمودند. آنها نشان دادند که جدایش جریان در عدد رینولدز  $1/15$  اتفاق می‌افتد. آنها بیان کردند که طول ناحیه جدایش با افزایش عدد رینولدز در بازه  $1/5$  تا  $4/0$  به طور خطی طبق رابطه  $\frac{L}{D} = -0.0783 + 0.0724 Re$  افزایش می‌یابد. همچنین آنها عدد استروهاال ریزش گردابه‌ها را در بازه رینولدز ۶۰ تا ۱۳۰ به صورت  $St = \frac{3.2242}{Re} - 0.1774$  ارائه نمودند.

شارما و اسوارانا [9] عدد استروهاال برای مدل مربعی شکل در عدد رینولدز ۱۰۰ را  $0.1488$  به دست آوردند. سینگ و همکارانش [10] برای مدل مربعی شکل در عدد رینولدز ۱۰۰ عدد استروهاال را در جریانی که زاویه آن صفر است برابر  $0.147$  به دست آوردند. همچنین ساهو و همکارانش [11]، برای مدل مربعی شکل با همان عدد رینولدز ۱۰۰، عدد استروهاال  $0.1486$  را به دست آوردند.

ین و یانگ [12] ریزش گردابه‌ها پایین دست مدل مربعی شکل را در بازه عدد رینولدز ۴۰۰۰ تا ۳۶۰۰۰ در زوایای مختلف جریان به صورت تجربی بررسی نمودند. آنها نشان دادند که جریان پایین دست مدل دارای سه ناحیه لبه جدایش، حباب جدایش و اتصال جریان است. همچنین آنها نشان دادند که زاویه جریان بر فرکانس ریزش گردابه‌ها (عدد استروهاال) تأثیر گذاشته و هنگامی که زاویه جریان هوا  $0^\circ$  است، کمترین مقدار عدد

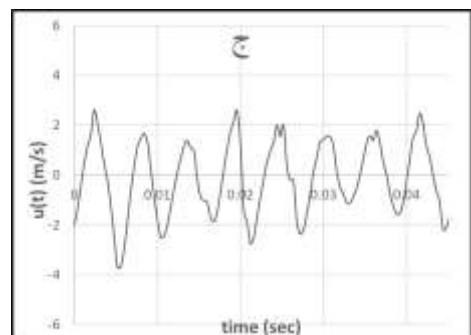
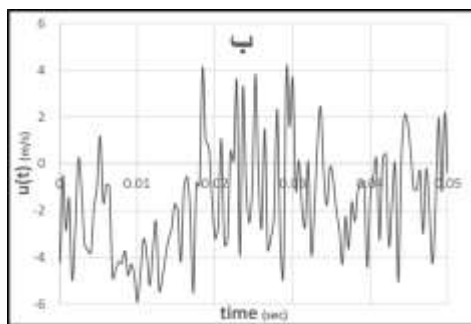
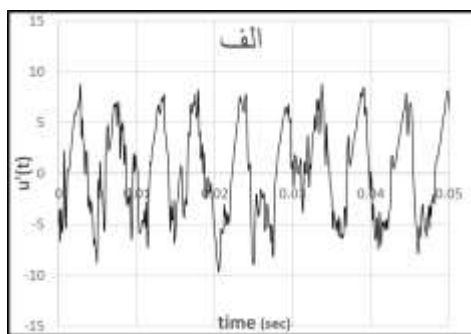
محور مختصات و زاویه چرخش مدل را نشان می‌دهد.



شکل (۲): محور مختصات و زاویه چرخش مدل

فاصله  $(x/a=2/5, y/a=2/5)$  از مدل و شکل (۳-ب) اسپیلگرام سرعت لحظه‌ای جریان در فاصله  $(x/a=2/5, y/a=0/5)$  را نشان می‌دهد. مطابق شکل (۳-الف) اسپیلگرام سرعت لحظه‌ای نزدیک به موج سینوسی است که دارای نوسانات است، لذا در این نقطه پدیده ریزش گردابه‌ها قابل مشاهده است.

هنگامی که  $y/a=0/5$  است (شکل ۳-ب)، اندازه‌گیری سرعت لحظه‌ای در ناحیه دنباله مدل بوده که در این حالت اسپیلگرام سرعت لحظه‌ای به حالت سینوسی و یا نزدیک به آن نیست، لذا در این نقطه نمی‌توان فرکانس ریزش گردابه‌ها را اندازه‌گیری نمود.



شکل (۳): اسپیلگرام سرعت لحظه‌ای  $U=20$  m/s،  $x/a=2/5$ ، الف:

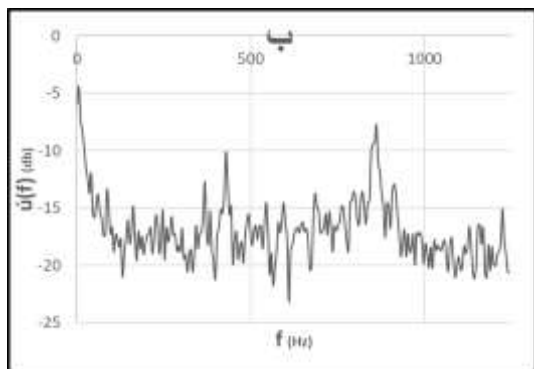
ب:  $y/a=0/5$ ، ج: استوانه

جریان پایین دست مدل با استفاده از جریان سنج سیم‌داغ ساخت شرکت فرانسجش صبا اندازه‌گیری شده است که پراب مورد استفاده از نوع یک‌بعدی است. سیم پراب از نوع تنگستن با قطر ۵ میکرون است. به‌منظور جابه‌جایی پراب از مکانیزم انتقال‌دهنده پراب استفاده شده است. این مکانیزم دارای دقت جابه‌جایی ۰/۱ mm در سه بعد است که با استفاده از رایانه حرکت آن قابل کنترل است. داده‌های اخذشده توسط جریان‌سنج سیم‌داغ از طریق کارت اخذ داده از نوع NI به رایانه ارسال و توسط نرم‌افزار Flow Ware تجزیه و تحلیل می‌شود. به‌منظور تغییر زاویه مدل از موتور پله‌ای استفاده می‌شود که از طریق رایانه حرکت دورانی آن قابل کنترل است. میزان دوران موتور پله‌ای به ازای هر پالس  $0/72^\circ$  است. برای کالیبراسیون جریان‌سنج سیم‌داغ و اندازه‌گیری سرعت آزاد بالادست مدل از لوله استاتیکی پیتوت به همراه فشارسنج Omega استفاده شده است.

در این تحقیق در ابتدا مدل را در زاویه صفر درجه قرار داده و با استفاده از مکانیزم جابه‌جایی محل مناسبی که در آن فرکانس ریزش گردابه‌ها به‌وضوح دیده می‌شود را مشخص نموده و سپس فرکانس ریزش گردابه‌ها در سرعت‌های مختلف و زاویه‌های مختلف در فاصله‌های  $x/a=1, 1/2, 0/5/5$  پایین دست مدل اندازه‌گیری می‌شود.

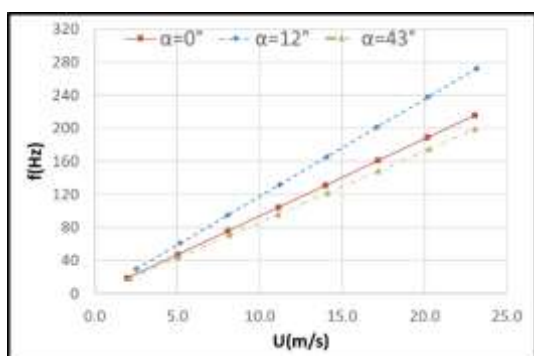
### بررسی نتایج

بررسی ریزش گردابه‌ها. همان‌گونه که بیان شد به‌منظور اندازه‌گیری ریزش گردابه‌ها، نیاز است که پراب جریان‌سنج سیم‌داغ در مکان مناسب از مدل قرار گیرد. شکل (۳-الف) اسپیلگرام سرعت لحظه‌ای جریان را در



شکل (۴): سرعت لحظه‌ای در حوزه فرکانس  
 $U=20$  m/s,  $x/a=2/5$ , الف:  $y/a=2/5$  و ب:  $y/a=0/5$

شکل (۵) فرکانس ریزش گردابه‌ها را بر حسب سرعت در زاویه‌های مختلف نشان می‌دهد. مطابق این شکل، رابطه فرکانس ریزش گردابه‌ها و سرعت جریان هوا به صورت خطی است. شیب این خطوط با زاویه جریان تغییر کرده است.



شکل (۵): فرکانس ریزش گردابه‌ها بر حسب سرعت جریان هوا در زاویه‌های مختلف

مطابق شکل (۵) شیب فرکانس ریزش گردابه‌ها در زاویه  $12^\circ$  بیشتر از دو زاویه دیگر است. به منظور بررسی بهتر شکل (۵)، ریزش گردابه‌ها باید بی بعد شوند. بدین منظور با استفاده از عدد استرووال، فرکانس ریزش گردابه‌ها و با استفاده از عدد رینولدز، سرعت جریان هوا بی بعد شده است.

شکل (۶) منحنی  $St-Re$  را برای مدل در زاویه‌های مختلف نشان می‌دهد. مطابق شکل (۶) عدد استرووال برای اعداد رینولدز فوق ثابت بوده که این موضوع در

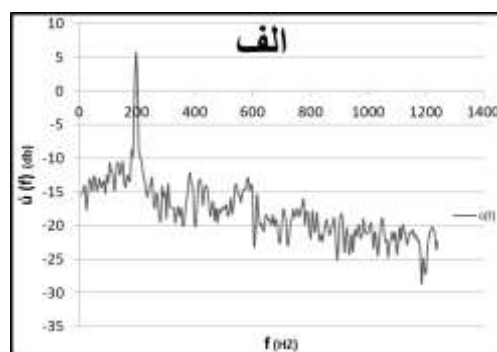
شکل (۳-ج) اسپیلگرام سرعت لحظه‌ای پایین دست استوانه به قطر  $10$  mm را در عدد  $Re=11110$  نشان می‌دهد که مطابق این شکل اسپیلگرام سرعت لحظه‌ای نزدیک به موج سینوسی و بدون نوسانات است. برای اندازه‌گیری فرکانس ریزش گردابه‌ها از دو روش می‌توان استفاده نمود: ۱- شمارش قله‌های موج سینوسی در واحد زمان ۲- استفاده از روش FFT.

لازم به یادآوری است اندازه‌گیری فرکانس ریزش گردابه‌ها با استفاده از روش شمارش قله‌ها در مدل مربعی ممکن نبوده و نمی‌توان مدارات الکتریکی دیی سنج را بر این اساس طراحی نمود.

با استفاده از FFT سرعت لحظه‌ای از حوزه زمان به حوزه فرکانس تبدیل می‌شود. در تبدیل سرعت لحظه‌ای از حوزه زمان به حوزه فرکانس اصل نایکوئیست نیز رعایت شده است. به عبارت دیگر، فرکانس داده‌برداری،  $f$  که  $f_m$  فرکانس ماکزیمم است.

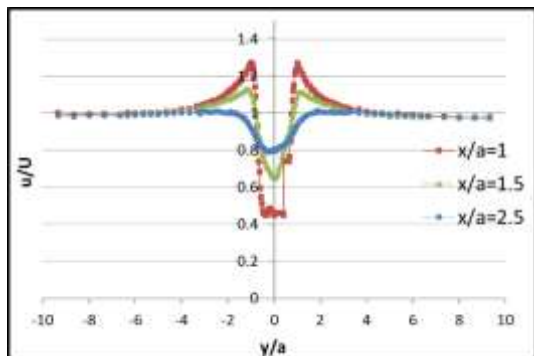
شکل (۴) سرعت لحظه‌ای در حوزه فرکانس را نشان می‌دهد. مطابق شکل (۴-الف)، سرعت لحظه‌ای دارای فرکانس غالب  $200$  Hz بوده که به وضوح و قدرت بیشتر دیده می‌شود. این فرکانس غالب همان فرکانس ریزش گردابه‌ها است.

در شکل (۴-ب) فرکانس غالب به وضوح دیده نمی‌شود و اغتشاش‌های جریان در فرکانس‌های کمتر است. لذا در این موقعیت، اغتشاش‌های ناشی از دنباله حاکم است. با توجه به شکل (۴-الف) فرکانس ریزش گردابه‌های ناشی از مدل مربعی را می‌توان با استفاده از روش FFT اندازه‌گیری نمود.



مطابق شکل (۷) منحنی های  $St-\alpha$  در اعداد رینولدز مختلف بر روی یکدیگر منطبق می باشند. همان گونه که در شکل (۷) نشان داده شده است، تغییرات  $St-\alpha$  برای هر  $90^\circ$  تکرار شده است و در هر تکرار نیز با یکدیگر تقارن دارند. کمترین مقدار عدد استروهمال  $0.129$  بوده و در زاویه  $43^\circ$  رخ می دهد و بیشترین مقدار عدد استروهمال  $0.176$  بوده و در زاویه های  $12^\circ$  و  $82^\circ$  اتفاق می افتد، همچنین منحنی فوق نیز دارای مقدار کمینه نسبی در زاویه  $90^\circ$  است و این زاویه ها با دوره تناوب  $90^\circ$  تکرار می شوند. با توجه به شکل (۷) تغییرات در ناحیه کمینه، با زاویه جریان زیاد نبوده، لذا قرار دادن مدل در این زاویه برای طراحی دبی سنج مناسب است.

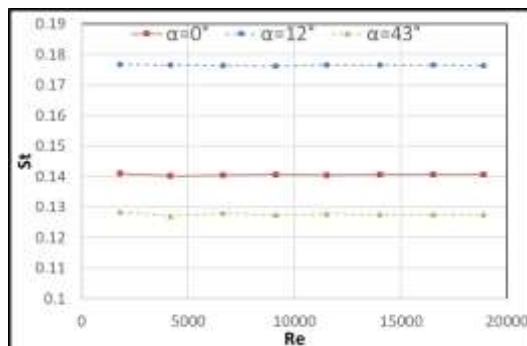
**بررسی جریان پایین دست مدل.** به منظور بررسی مناسب تر ریزش گردابه ها، جریان در نزدیکی و پایین دست مدل در زاویه های حساس بررسی شد. شکل (۸) توزیع سرعت بی بعد شده جریان هوا در عرض مدل در فواصل مختلف در زاویه صفر درجه را نشان می دهد. سرعت محلی جریان هوا با استفاده از سرعت آزاد بی بعد شده است.



شکل (۸): منحنی توزیع سرعت بی بعد شده جریان هوا در پایین دست مدل در زاویه  $0^\circ$  در فواصل مختلف در عدد  $Re=16667$

مطابق شکل (۸) در فاصله  $x/a=1$  در فواصل  $y/a=\pm 1$  سرعت جریان هوا حدود  $27\%$  بیشتر از سرعت جریان آزاد است. با افزایش فاصله به پایین دست، این مقدار کاهش یافته و در  $x/a=2/5$  تقریباً سرعت محلی

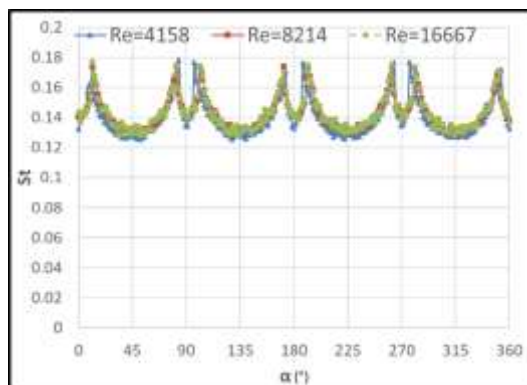
دبی سنج ها از اهمیت برخوردار است. عدد استروهمال با زاویه جریان تغییر کرده ولیکن با عدد رینولدز ثابت است.



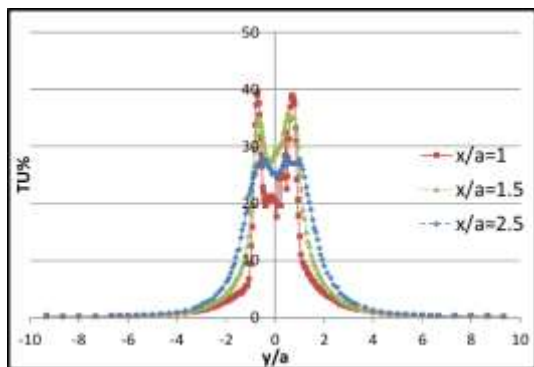
شکل (۶): منحنی تغییرات عدد استروهمال بر حسب عدد رینولدز در زاویه های مختلف

هنگامی که عدد استروهمال بیشتر باشد فرکانس ریزش گردابه ها در سرعت ثابت بیشتر و در نتیجه دقت اندازه گیری آن بهتر می شود، ولی در این حالت پاسخ فرکانسی دستگاه اندازه گیر می بایست کوتاه تر شود.

**بررسی تأثیر زاویه مدل بر ریزش گردابه ها.** شکل (۵) تغییرات فرکانس ریزش گردابه ها بر حسب سرعت جریان هوا در زاویه های مختلف مدل را نشان می دهد که به صورت خطی است. مطابق شکل (۵) شیب خطوط با زاویه مدل تغییر می کند. به منظور بررسی بهتر، شکل (۷) تغییرات عدد استروهمال بر حسب زاویه مدل در اعداد رینولدز مختلف را نشان می دهد.



شکل (۷): منحنی تغییرات عدد استروهمال بر حسب زاویه چرخش مدل مربعی در اعداد رینولدز مختلف



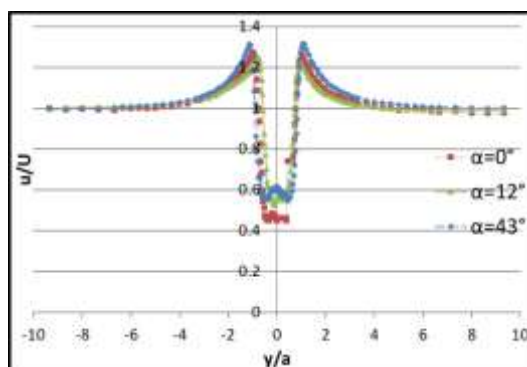
شکل (۱۰): منحنی توزیع شدت اغتشاش‌های جریان هوا در پایین‌دست مدل مربعی برای زاویه<sup>۰</sup> در فواصل مختلف در عدد  $Re = 16667$

هنگامی که  $x/a=1$  است، شدت اغتشاش‌ها در نزدیکی مدل حدود ۴۰٪ بوده و دارای دو مقدار بیشینه محلی در فاصله  $y/a = \pm 0.73$  است. با افزایش فاصله از مدل شدت اغتشاش‌ها کاهش یافته و به تدریج دو مقدار بیشینه محو و تبدیل به یک مقدار بیشینه در مرکز می‌شود.

با توجه به مرجع [۱۳] هنگامی که شدت اغتشاش‌ها ۳۰٪ است، مقدار خطا در اندازه‌گیری سرعت با استفاده از جریان‌سنج سیم‌داغ حدود ۴٪ است. هنگامی که شدت اغتشاش‌ها کمتر از ۶٪ باشد، این خطا ناچیز خواهد بود. اردکانی [۱۴] نشان داد که  $\frac{u}{U} \leq 0.99$  و ناحیه‌ای که شدت اغتشاش‌ها بین  $0.6 \leq Tu \leq 1$  باشد، محل مناسب قرارگیری پراب جریان‌سنج سیم‌داغ برای کالیبراسیون در سرعت‌های کم با استفاده از اندازه‌گیری فرکانس ریزش گردابه‌ها است. با توجه به شکل (۱۰)، هنگامی که  $y/a \geq 2/5$  و یا  $y/a \leq -2/5$  باشد، این امر محقق می‌شود.

شکل (۱۱-الف)، توزیع شدت اغتشاش‌ها را برای مدل مربع در زاویه‌های  $0^\circ$ ،  $12^\circ$  (بیشترین عدد استروهاال) و  $43^\circ$  (کمترین عدد استروهاال) در فاصله  $x/a=1$  و شکل (۱۱-ب) در فاصله  $x/a=2/5$  نشان می‌دهد.

جریان هوا از سرعت آزاد بیشتر نخواهد بود. همچنین با افزایش فاصله به سمت پایین‌دست، کمینه سرعت محلی افزایش یافته و پهنای ناحیه دنباله افزایش می‌یابد. در فاصله  $x/a=1$  کمترین سرعت در ناحیه دنباله برابر  $0.45$  سرعت جریان آزاد و در فاصله  $x/a=2/5$  برابر  $0.79$  سرعت جریان آزاد است. همچنین پهنای ناحیه دنباله در  $x/a=1$ ،  $1/\sqrt{a}$  و در  $x/a=2/5$  برابر  $3/2a$  است. با توجه به شکل (۷) مقدار بیشترین عدد استروهاال در زاویه  $12^\circ$  و کمترین آن در زاویه  $43^\circ$  رخ می‌دهد. لذا در این دو زاویه، سرعت جریان هوا نیز بررسی می‌شود. شکل (۹) توزیع سرعت جریان هوا را پایین‌دست مدل در زاویه‌های  $0^\circ$ ،  $12^\circ$  و  $43^\circ$  نشان می‌دهد.



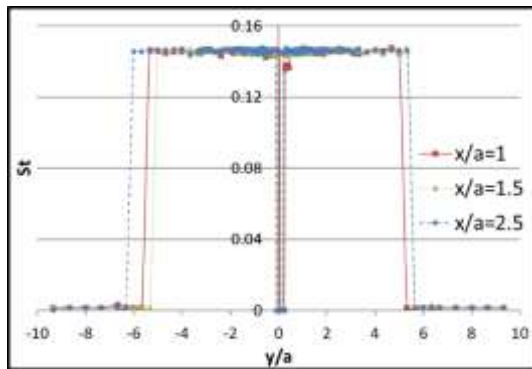
شکل (۹): منحنی توزیع سرعت جریان هوا در زوایای مختلف در  $x/a=1$  در عدد  $Re=16667$

مطابق شکل بالا هنگامی که زاویه  $0^\circ$  و  $12^\circ$  است، توزیع سرعت مشابه بوده ولی هنگامی که زاویه  $43^\circ$  است، مقدار نسبت سرعت محلی به سرعت آزاد در فواصل  $y/a = \pm 1/2$  حدود  $1/30$  خواهد بود که بیشتر از حالت  $0^\circ$  است. عمق ناحیه دنباله برای مدل مربعی در زاویه  $0^\circ$  بیشتر بوده ولی پهنای دنباله در زاویه  $43^\circ$  بیشتر از زاویه  $0^\circ$  است.

شکل (۱۰) توزیع شدت اغتشاش‌های جریان هوا پایین‌دست مدل مربعی در زاویه  $0^\circ$  را نشان می‌دهد. شدت اغتشاش‌ها با رابطه (۱) بیان می‌شود.

$$\%TU = \frac{\sqrt{\bar{u}^2}}{U} \cdot 100 \quad (1)$$

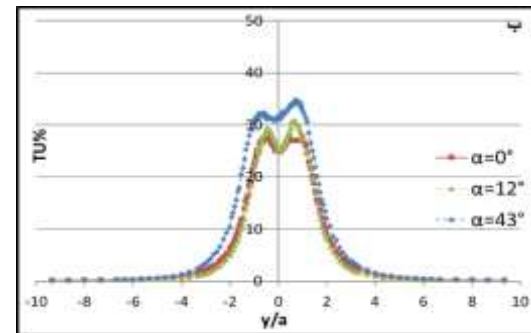
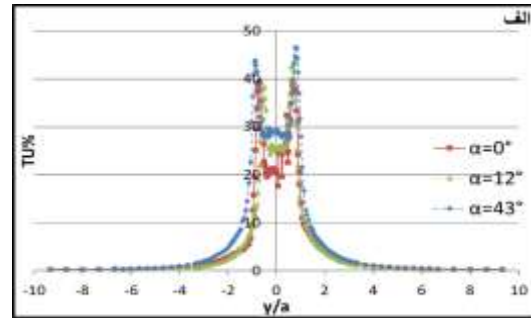
مقداری بزرگ تر شده است.



شکل (۱۲): منحنی تغییرات عدد استروهل در پایین دست مدل مربعی برای زاویه  $0^\circ$  در فواصل مختلف در عدد  $Re = 16667$

شکل (۱۳-الف)، منحنی تغییرات عدد استروهل پایین دست مدل و در عرض آن را برای زاویه های  $0^\circ$ ،  $12^\circ$  و  $43^\circ$  در فاصله  $x/a=1$  نشان می دهد. مطابق شکل (۱۳-الف) هنگامی که زاویه مدل از  $0^\circ$  به  $12^\circ$  تغییر می کند، عدد استروهل بزرگ تر شده ولی ناحیه هایی که در آن فرکانس ریزش گردابه ها قابل اندازه گیری است به مقدار  $0.4/3 \leq y/a \leq 0.7/3$  و  $0.5/6 \leq y/a \leq 0.3/6$  کاهش می یابد. همچنین با تغییر زاویه مدل به  $43^\circ$ ، عدد استروهل کوچک تر شده و ناحیه هایی که در آن فرکانس ریزش گردابه ها قابل اندازه گیری نیز است، کاهش یافته و به ناحیه  $0.7/4 \leq y/a \leq 0.8/4$  و  $0.3/3 \leq y/a \leq 0.4/3$  محدود می شود.

شکل (۱۳-ب)، منحنی تغییرات عدد استروهل پایین دست مدل و در عرض آن را برای زاویه های  $0^\circ$ ،  $12^\circ$  و  $43^\circ$  در فاصله  $x/a=2/5$  را نشان می دهد. تغییرات عدد استروهل همانند حالت  $x/a=1$  است با این تفاوت که ناحیه هایی که در آن فرکانس ریزش گردابه ها قابل اندازه گیری است برای زاویه  $0^\circ$  به مقدار  $0.2/5 \leq y/a \leq 0.7/5$  و  $0.2/5 \leq y/a \leq 0.7/5$ ، برای زاویه  $12^\circ$  به مقدار  $0.2/3 \leq y/a \leq 0.4/3$  و  $0.1/2 \leq y/a \leq 0.6/6$ ، و برای زاویه  $43^\circ$  به مقدار  $0.3/7 \leq y/a \leq 0.5/7$  و  $0.2/3 \leq y/a \leq 0.5/5$  است.



شکل (۱۱): منحنی توزیع شدت اغتشاش های جریان هوا در پایین دست مدل مربعی در زوایای مختلف الف:  $x/a=1$  ب:  $x/a=2/5$  در عدد  $Re = 16667$

هنگامی که  $x/a=1$  است، شدت اغتشاش های ناشی از مدل دارای دو مقدار بیشینه بوده که این مقادیر در زاویه  $43^\circ$  بیشترین و همچنین دارای فاصله بیشتری نسبت به یکدیگر می باشند. با افزایش فاصله از مدل مقدار بیشینه شدت اغتشاش ها کاهش می یابد. همچنین همان گونه که در شکل نشان داده شده است، هنگامی که زاویه مدل  $43^\circ$  است، توزیع شدت اغتشاش ها پهن تر است که ناشی از پهن تر شدن سطح مقطع مدل در برابر جریان است. به منظور تشخیص مکان هایی که در آن ریزش گردابه ها اتفاق می افتد، منحنی تغییرات عدد استروهل در فواصل مختلف پایین دست مدل برای زاویه  $0^\circ$  در شکل (۱۲) نشان داده شده است.

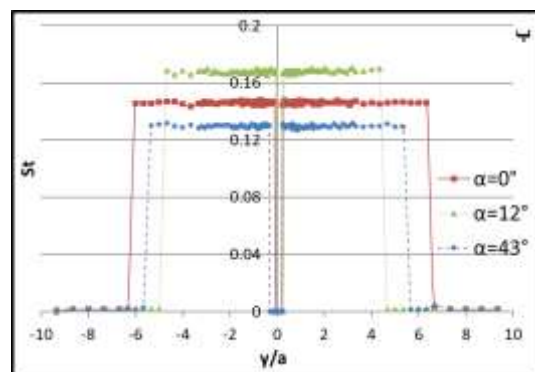
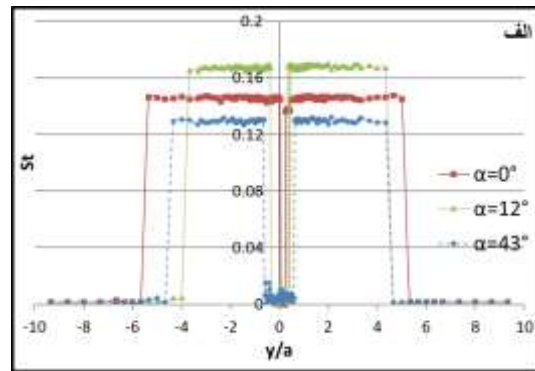
هنگامی که  $x/a=1$  یا  $x/a=1/5$  است، در فاصله  $0.3/3 \leq y/a \leq 0.7/3$  و  $0.5/6 \leq y/a \leq 0.3/6$  عدد استروهل برابر  $0.1/4$  بوده و به عبارت دیگر فرکانس ریزش گردابه ها قابل اندازه گیری است. با افزایش فاصله از مدل در  $x/a=2/5$ ، این ناحیه  $0.3/7 \leq y/a \leq 0.5/7$  و  $0.2/3 \leq y/a \leq 0.5/5$  خواهد بود که



- عدد استروهمال وابسته به زاویه جریان هوا نسبت به مدل است، در زاویه  $12^\circ$ ، عدد استروهمال بیشترین مقدار خود (۰/۱۷۶) را دارا بوده و در زاویه  $43^\circ$  کمترین مقدار خود (۰/۱۲۹) را دارا است.
- پروفیل سرعت در پایین دست مدل در زاویه‌های مختلف تقریباً مشابه بوده و در نزدیکی مدل علاوه بر ناحیه دنباله، ناحیه‌ای وجود دارد که سرعت محلی نسبت به سرعت آزاد بیشتر است. هنگامی که  $x/a=1$  است، سرعت جریان در فاصله  $y/a \geq 3/2$  یا  $y/a \leq -3/2$  برابر سرعت جریان آزاد است، ولی هنگامی که  $x/a=2/5$  است، در فاصله  $y/a \geq 1/5$  یا  $y/a \leq -1/5$  سرعت جریان برابر سرعت جریان آزاد خواهد شد.
- توزیع شدت اغتشاش‌های جریان هوا نشان می‌دهد که در زاویه  $0^\circ$ ، شدت اغتشاش‌ها تا حدود  $0.4\%$  نیز افزایش می‌یابد. همچنین شدت اغتشاش‌ها متقارن است، ولی با افزایش فاصله عرضی این مقدار به شدت کاهش می‌یابد. هنگامی که  $y/a \geq 2/2$  یا  $y/a \leq -2/2$  شدت اغتشاش‌ها کمتر از  $0.6\%$  خواهد بود.
- توزیع عدد استروهمال نیز نسبت به محور مختصات متقارن بوده و برای حالتی که زاویه جریان  $0^\circ$  است در فاصله  $0.3 \leq y/a \leq 6$  ثابت است و به عبارت دیگر فرکانس ریزش گردابه‌ها قابل اندازه‌گیری است. هنگامی که زاویه مدل  $12^\circ$  (بیشترین عدد استروهمال) و یا مدل در زاویه  $43^\circ$  (کمترین عدد استروهمال) باشد ریزش گردابه‌ها در فاصله کمتری قابل مشاهده است.
- برای طراحی و ساخت دبی سنج گردابه‌ای می‌توان از مدل مربعی در زاویه  $43^\circ$  استفاده نمود. در این زاویه فرکانس ریزش گردابه‌ها نسبت به زاویه جریان حساسیت کمتری دارد.

### فهرست علائم

St عدد استروهمال



شکل (۱۳): منحنی تغییرات عدد استروهمال در پایین دست مدل مربعی در زوایای مختلف الف:  $x/a=1$  ب:  $x/a=2/5$  در عدد

$$Re = 16667$$

### نتیجه‌گیری

بررسی و شناخت جریان پایین دست مدل مربعی دارای اهمیت در مکانیک سیالات بوده و می‌تواند دارای کاربردهایی در ساخت دبی سنج داشته باشد. در این مقاله، جریان پایین دست مدل مربعی به صورت تجربی بررسی شده و نتایج آن به صورت خلاصه به شرح زیر است:

- ریزش گردابه‌ها، در پایین دست مدل با استفاده از روش FFT قابل اندازه‌گیری است که با توجه به این که اسیلگرام سرعت لحظه‌ای علاوه بر فرکانس حاکم دارای نویز است، نمی‌توان فرکانس ریزش گردابه‌ها را از طریق شمارش قله‌ها اندازه‌گیری نمود. نتایج نشان می‌دهد که عدد استروهمال ریزش گردابه‌ها مستقل از عدد رینولدز در بازه  $1500$  الی  $19000$  است و در زاویه  $0^\circ$  برابر  $0.14$  است.

عدد رینولدز	Re	فرکانس دارای بیشترین دامنه	$f_m$
طول ضلع مدل مربعی	a	درصد شدت اغتشاشها	%TU
فرکانس ریزش گردابه ها	f	اغتشاشهای طولی جریان هوا	$\dot{u}$
لزجت سینماتیکی	$\nu$	سرعت محلی جریان	u
فاصله از مبدأ مختصات مدل در جهت	x	سرعت جریان آزاد	U
جریان		زاویه جریان با مدل مربعی	$\alpha$
فاصله از مبدأ مختصات مدل در جهت	y		
عمود بر جریان			

### مراجع

1. Ardekani M. A, "Air flow measurement in experimental fluid mechanics", *Iranian Research Organization on Science and Technology*, Tehran, (2014).
2. Miller, R.W. "Flow measurement engineering handbook", *the University of Michigan*, United States, (1983).
3. Ardekani M. A, "Hot-Wire Anemometer", *Iranian Research Organization on Science and Technology*, Tehran, (2006).
4. Okajima, A. "Strouhal numbers of rectangular cylinders", *Journal of Fluid Mechanics*, No123, pp. 379-398, (1982).
5. Nakamura, Y. and Ohya, Y. and Ozono, S. and Nakayama, R. "Experimental and numerical analysis of vortex shedding from elongated rectangular cylinders at low Reynolds numbers 200-10<sup>3</sup>", *Journal of Wind Engineering and Industrial Aerodynamics*, Vol 65, No 1-3, pp. 301-308, (1996).
6. Matsumoto, M. "Vortex shedding of bluff bodies: a review", *Journal of Fluids and Structures*, Vol 13, No 7-8, pp. 791-811, (1999).
7. Kelkar, K.M. and Patankar, S.V. "Numerical prediction of vortex shedding behind a square cylinder", *International Journal for Numerical Methods in Fluids*, Vol 14, No 3, pp. 327-341, (1992).
8. Sen, S. and Mittal, S. and Biswas, G. "Flow past a square cylinder at low Reynolds numbers", *International Journal for Numerical Methods in Fluids*, Vol 67, No 9, pp. 1160-1174, (2011).
9. Sharma, A. and Eswaran, V. "Heat and fluid flow across a square cylinder in the two-dimensional laminar flow regime", *Numerical Heat Transfer, Part A: Applications*, Vol 45, No 3, pp. 247-269, (2004).
10. Singh, A. and De, A. and Carpenter, V. and Eswaran, V. and Muralidhar, K. "Flow past a transversely oscillating square cylinder in free stream at low Reynolds numbers", *International Journal for Numerical Methods in Fluids*, Vol 61, No 6, pp. 658-682, (2009).
11. Sahu, A.K. and Chhabra, R. and Eswaran, V. "Two-dimensional unsteady laminar flow of a power law fluid across a square cylinder", *Journal of Non-Newtonian Fluid Mechanics*, Vol 160, No 2-3, pp. 157-

- 
- 167, (2009).
12. Yen, S.C. and Yang, C.W. "Flow patterns and vortex shedding behavior behind a square cylinder", *Journal of Wind Engineering and Industrial Aerodynamics*, Vol 99, No 8, pp. 868-878, (2011).
13. Swaminathan, M. and Rankin, G. and Sridhar, K. "A note on the response equations for hot-wire anemometry", *ASME, Transactions, Journal of Fluids Engineering*, Vol. 108, p. 115-118, (1986).
14. Ardekani, M. "Hot-wire calibration using vortex shedding", *Measurement*, Vol 42, No 5, pp. 722-729, (2009).